

Groupe 7, TD 7

ex n°1:

1- On peut assimiler le groupe de charges à un dipôle électrique; son pôle \ominus sera au niveau de la charge du haut, le pôle \oplus à celle du bas.

Tes plans dans lesquels est le dipôle sont des plans de symétrie du champ, le plan orthogonal à tous ces plans, donc au dipôle, est un plan d'antisymétrie. Tous la présence d'un plan d'antisymétrie assure la neutralité de la charge de l'ensemble.

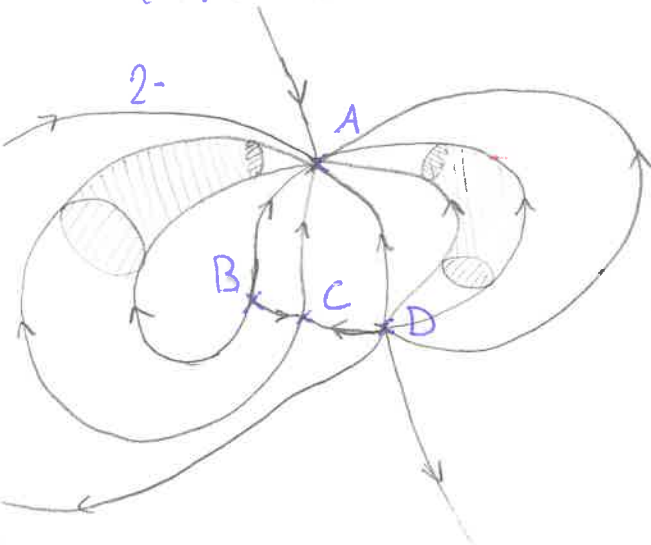
selon ma?

TTAS

+ q
+ q

+ q
+ q

2-



les sens des lignes de champ donnent le signe les charges:

$$|| A: \ominus // B: \oplus, // D: \oplus ||$$

le champ électrique semble s'annuler au point C car des lignes de champ arrivent et repartent.

3 - on note $-q_A$, q_B et q_D les charges au différents points, sachant que $\min\{-q_A, q_B, q_D\} = q$ et $-q_A + q_B + q_D = 0$ ($q_A > 0, q_B > 0, q_D > 0$)

de plus, comme le champ s'annule en C on a :

$$\vec{E}(C) = \frac{q_B}{4\pi\epsilon_0 d_{BC}^3} \vec{BC} + \frac{q_D}{4\pi\epsilon_0 d_{DC}^3} \vec{DC} - \frac{q_A}{4\pi\epsilon_0 d_{AC}^3} \vec{AC} = \vec{0}$$

A des erreurs de calculs.

où d_{AB} est la distance entre les points A et B.

$$\vec{BC} = (24a; -8a) \quad \vec{DC} = (-51a; -8a) \quad \vec{AC} = (0; -83a)$$

$$d_{DC} = a\sqrt{51^2 + 8^2} \approx 52a \quad d_{BC} = a\sqrt{24^2 + 8^2} \approx 25a \quad d_{AC} = 83a$$

il faut faire un calcul précis

en projetant sur l'axe lié à la 1^{ère} coordonnée on obtient schéma!

$$\left| \begin{array}{l} q_B \frac{24}{a^2 52^3} - \frac{51}{a^2 25^3} q_D = 0 \Rightarrow q_B = \frac{51}{24} \left(\frac{52^3}{25} \right)^3 q_D = \frac{51}{24} \left(\frac{25}{52} \right)^3 \approx \left(\frac{25}{50} \right)^2 \\ q_B \approx 18 q_D \end{array} \right. \quad \text{c'est l'erreur} \quad = \frac{1}{4}$$

Ce n'est pas cohérent avec les lignes de champs, essayons avec l'autre équation

$$\left| \begin{array}{l} -\frac{8}{d_{BC}^3} q_B + \frac{8}{d_{DC}^3} q_D + \frac{83}{d_{AC}^3} q_A = 0 \end{array} \right. \quad \text{pourquoi?}$$

on utilise la 1^{ère} équation $q_A + q_B + q_D = 0$ pour remplacer $q_A = q_B + q_D$, ainsi en réarrangeant les termes et en remplaçant par les valeurs numériques en α

$$q_D = -\left(\frac{\frac{83}{83^3} - \frac{8}{25^3}}{\frac{8}{52^3} + \frac{83}{83^3}} \right) q_B \approx 2q_B \quad \left. \right\} \text{même sens}$$

C'est cohérent avec le champ dessiné, donc $q = q_B$, $q_D = 4q$ et $q_A = -5q$

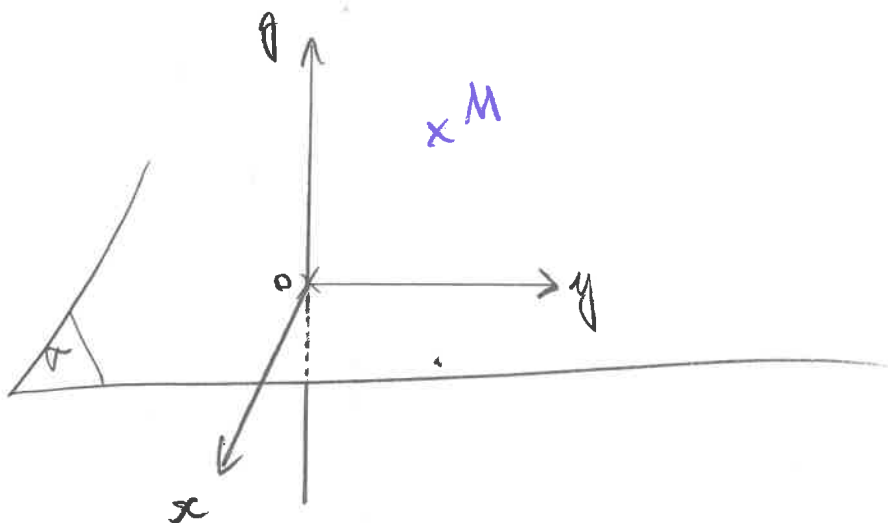
4 - les tubes de champ, dessinés à la page précédente, ont l'air plus denses autour des points A

↳ ils se rapprochent autour de A, donc le champ électrique est plus dense en A.

intense.

T bon travail.

7) a)



$\Pi_1 = (M, \vec{u}_x, \vec{u}_y)$ est un plan de symétrie des charges

$\Pi_2 = (M, \vec{u}_x, \vec{u}_z)$ ne coupe pas les charges

$\Pi_3 = (M, \vec{u}_y, \vec{u}_z)$ est un plan de symétrie des charges

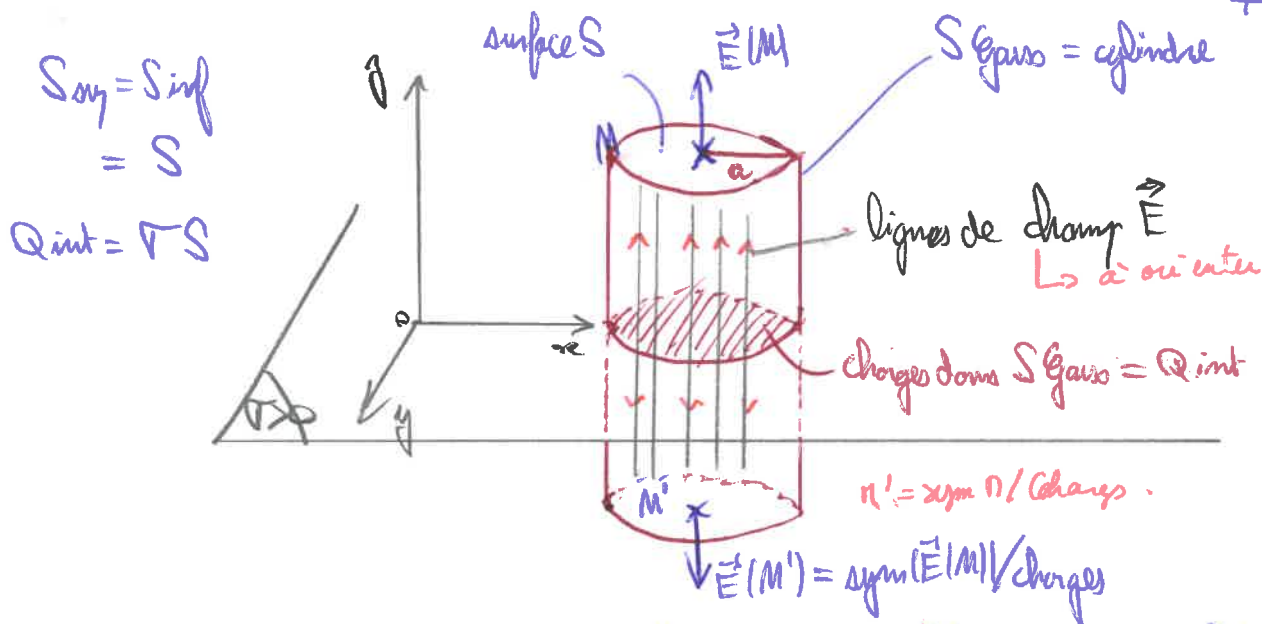
alors, $\tilde{E}(M) \in \underbrace{(\Pi_1 \cap \Pi_3)}_{\vec{u}_z}$, donc $\boxed{\begin{aligned} \tilde{E}(M) &= E(M) \vec{u}_z \\ &= E(x, y, z) \vec{u}_z \end{aligned}}$

b) Une translation selon x ou y laisse la distribution des charges invariante, une translation selon z fait varier la distribution des charges.

donc \tilde{E} ne dépend pas de x et y .

alors, $\boxed{\tilde{E}(M) = E(z) \vec{u}_z}$

c) théorème de Gaus : $\Phi(\tilde{E}) = \frac{Q_{int}}{\epsilon_0}$
 à trouver
 S Gaus



$$\begin{aligned}
 \oint \vec{E} \cdot d\vec{s} &= \iint_{S_{\text{Gauss}}} \vec{E} \cdot d\vec{s} = \underbrace{\iint_{S_{\text{lat}}}}_{\text{à l'horiz}} \vec{E} \cdot d\vec{s}_{\text{lat}} + \underbrace{\iint_{S_{\text{ay}}}}_{\text{à l'oriz}} \vec{E} \cdot d\vec{s}_{\text{ay}} + \iint_{S_{\text{inf}}} \vec{E} \cdot d\vec{s}_{\text{inf}} \\
 &= 0 \text{ car } \vec{E} \perp d\vec{s}_{\text{lat}}
 \end{aligned}$$

$$\begin{aligned}
 &= \iint_{S_{\text{ay}}} E(y) \vec{e}_y \cdot d\vec{s}_{\text{ay}} \vec{e}_y + \iint_{S_{\text{inf}}} E(y) (-\vec{e}_y) \cdot d\vec{s}_{\text{inf}} (-\vec{e}_y) \\
 &= \iint_{S_{\text{ay}}} E(y) dS_{\text{ay}} + \iint_{S_{\text{inf}}} E(y) dS_{\text{inf}} \\
 &= 2 E(y) S
 \end{aligned}$$

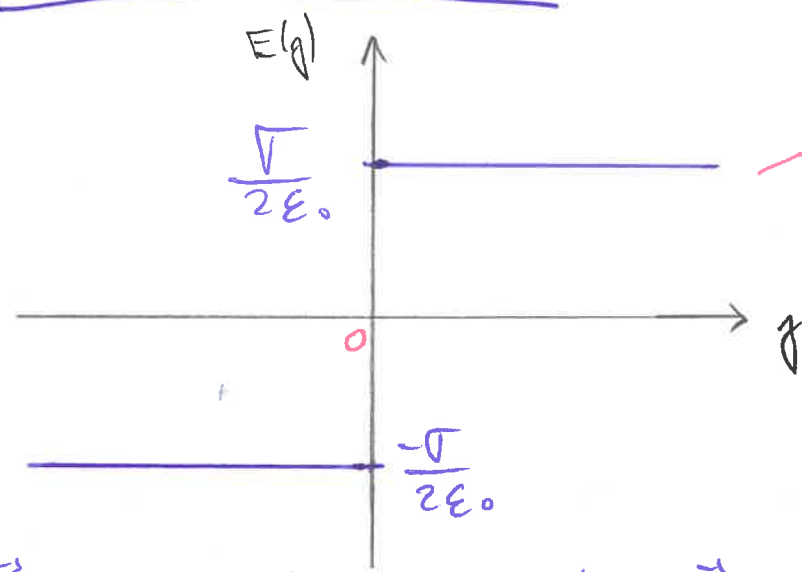
$$\text{or, } \oint \vec{E} \cdot d\vec{s} = \frac{Q_{\text{int}}}{\epsilon_0} \quad \text{et } Q_{\text{int}} = \int S$$

$$\text{donc } 2 E(y) S = \frac{\int S}{\epsilon_0}$$

$$\text{et } \vec{E}(y) = \frac{\int}{2 \epsilon_0} \vec{e}_y \quad \text{pour } y > 0$$

lorsque $\gamma < 0$, $\vec{E}(M) = \text{sym}(\vec{E}(M)) / \text{charges} = -\vec{E}(M)$

donc $\boxed{\vec{E}(\gamma < 0) = -\frac{\nabla}{2\epsilon_0} \vec{u}_\gamma}$



$$\begin{aligned} dV &= -\vec{E} \cdot d\vec{l} = (-E(y)\vec{u}_y) \cdot (dx\vec{u}_x + dy\vec{u}_y + dz\vec{u}_z) \\ &= -dy E(y) \end{aligned}$$

donc $\frac{dV}{dy} = -E(y)$

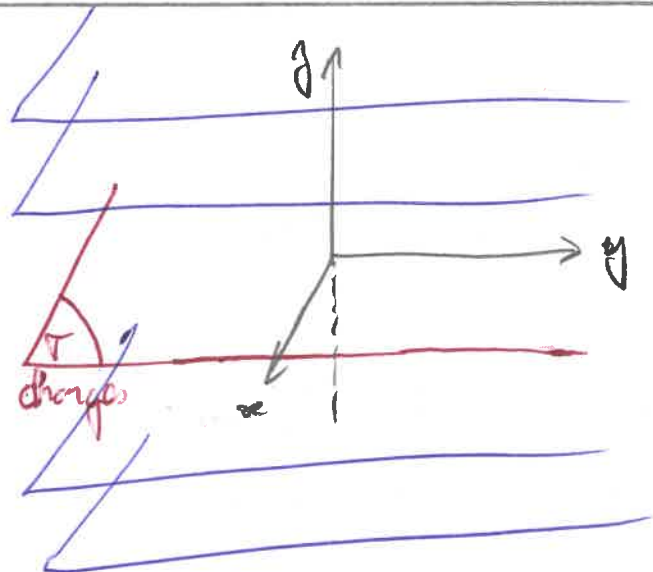
lorsque $\gamma > 0$: $\frac{dV}{dy} = -\frac{V}{2\epsilon_0}$

alors, $V(y) = -\frac{V}{2\epsilon_0} y + \text{cte}$

en $y = 0$, $V(0^+) = V(0^-) = V_0$. donc $\text{cte} = V_0$.

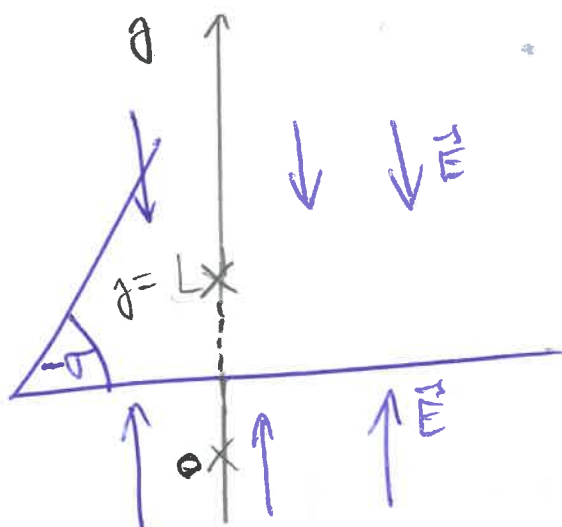
finalement, $\boxed{V(y > 0) = -\frac{V}{2\epsilon_0} y + V_0}$

de même, $\boxed{V(y < 0) = \frac{V}{2\epsilon_0} y + V_0}$



page 4
surfaces équivalentielles
B.

2)



par analogie,

$$\vec{E}(y > L) = -\frac{\sigma}{2\epsilon_0} \vec{u}_y$$

$$\vec{E}(y < L) = \frac{\sigma}{2\epsilon_0} \vec{u}_y$$

3) Par le théorème de superposition :

$$\vec{E} = \vec{E}_{\text{généré par le plan portant } (\Gamma)} + \vec{E}_{\text{généré par le plan portant } (-\Gamma)}$$

pour $y \in [0; L]$: $\vec{E}(y) = \frac{\sigma}{2\epsilon_0} \vec{u}_y + \frac{\sigma}{2\epsilon_0} \vec{u}_y$

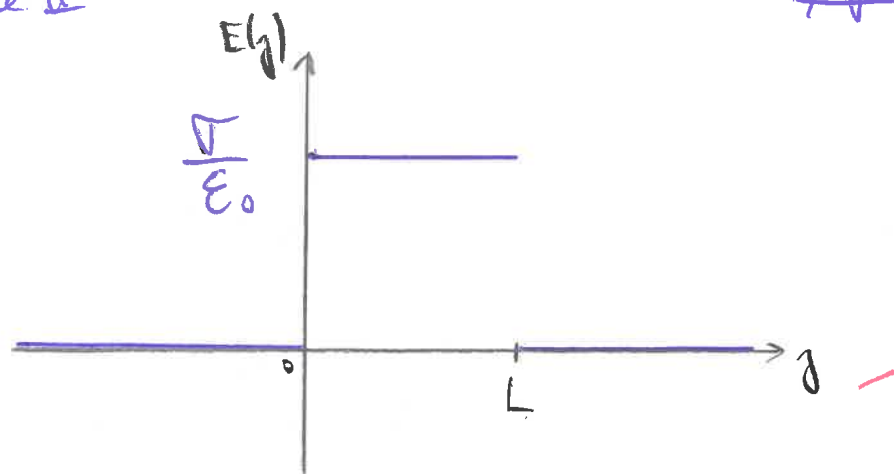
$$\boxed{\vec{E}(y) = \frac{\sigma}{\epsilon_0} \vec{u}_y}$$

pour $y < 0$: $\vec{E}(y) = -\frac{\sigma}{\epsilon_0} \vec{u}_y + \frac{\sigma}{2\epsilon_0} \vec{u}_y = \vec{0}$

pour $y > L$: $\vec{E}(y) = \vec{0}$ de même.

TDF exercise II

Page 5



Déterminons le potentiel créé par les charges.

$$dV = -\vec{E} \cdot \vec{dl}$$

zum $f \in [0; L]$:

$$dV = -E dy = \frac{F}{\epsilon_0} dy$$

$$\Leftrightarrow \frac{dV}{dy} = \frac{F}{\epsilon_0}$$

$$\text{donc } V(g) = \frac{\pi}{\epsilon_0} \cdot g + \text{cte}$$

$$\text{on gase } V(g=0) = V_0 \\ \text{donc } d\epsilon = V_0$$

$$N(g) = \frac{\Gamma}{\varepsilon_0} \cdot g + V_0 \quad \text{für } g \in [0; L]$$

~~7am 7 < 0~~

$$dV = -\vec{E} \cdot \vec{dl} = 0 \quad \text{can} \quad \vec{E} = \vec{0}$$

$$\text{donc } \frac{dV}{dg} = 0 \quad \text{et } V(g) = \text{cte'}. \quad \boxed{}$$

comme $V(j=0^-) = V(j=0^+) = V_0$, d'où V_0

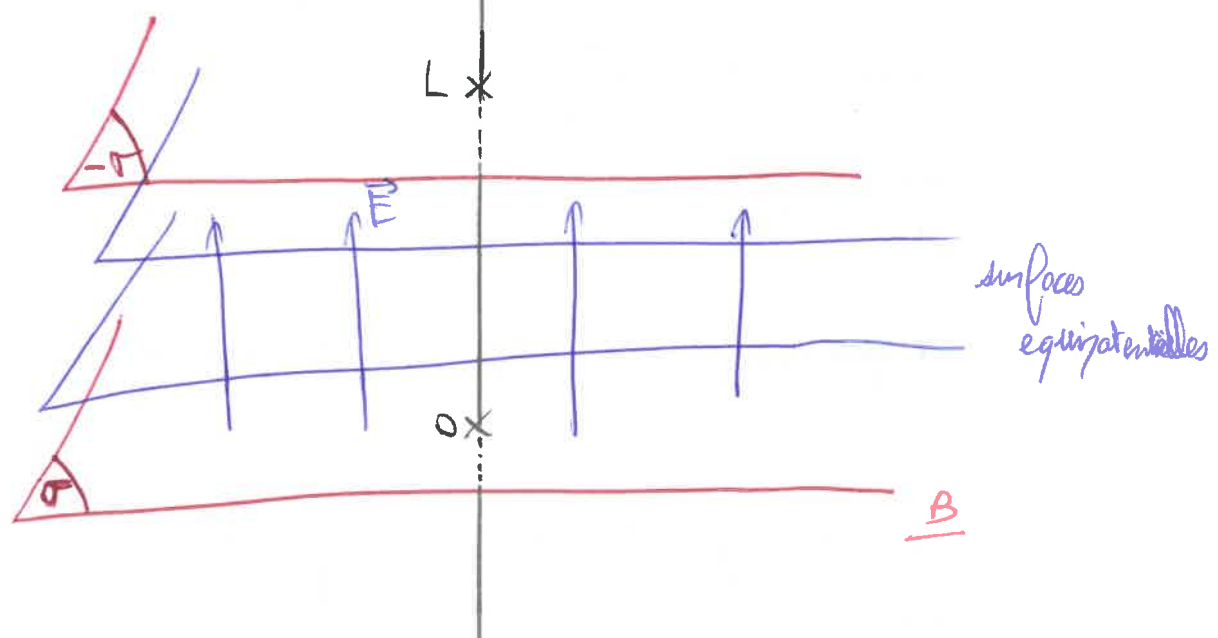
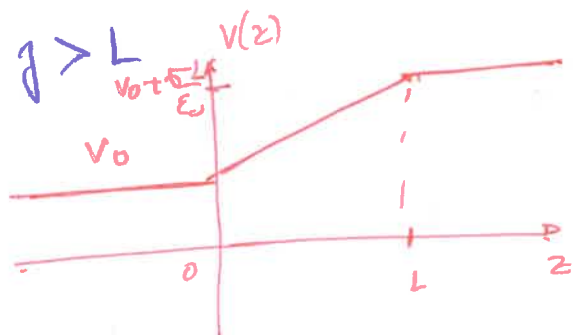
$$\text{at } V(g) = V_0 \quad \tan j < 0$$

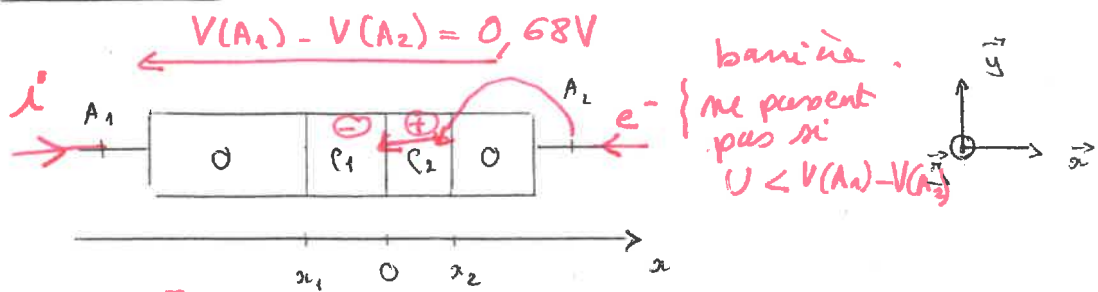
cas où $y > L$

de même que pour $y < 0$, $V(y) = \text{cte}^n$

$$\text{or, } V(y=L^+) = V(y=L^-) = \frac{\epsilon_0}{\epsilon_r} L + V_0 = \text{cte}^n$$

donc $\boxed{V(y) = \frac{\epsilon_0}{\epsilon_r} L + V_0}$ cas où $y > L$



Exercice 4 :

$\rho_1 < 0$ densité volumique de charge

$\rho_2 > 0$ densité

- 1) ~~On sait qu'au niveau de Oz Neutralité $Q_1 + Q_2 = 0$~~ $\rho_1(-x_1)S + \rho_2 x_2 S = 0$
~~On dit que l'expression : $P_1 x_1 = P_2 x_2$~~

$$\text{Ainsi } x_2 = x_1 \frac{\rho_1}{\rho_2}$$

$$\text{AN: } x_2 = -1,1 \times 10^{-6} \cdot \frac{(-10)}{500} \approx 3,7 \times 10^{-10} \text{ m} = 3,7 \times 10^{-4} \mu\text{m}$$

- 2) ~~On fait l'étude des symétries du champ des charges~~

$\left. \begin{array}{l} \Pi_1 = (n, \vec{v}_n, \vec{v}_y) \text{ et un } \Pi_2 \\ \Pi_2 = (n, \vec{v}_n, \vec{v}_z) \text{ et un } \Pi_3 \end{array} \right\} \text{définissant les variables}$
 \hookrightarrow mais uniquement si on suppose les charges ρ_1 et ρ_2 infinies selon y et z
Alors $\vec{E}(n) \in \Pi_1 \cap \Pi_2 \iff \vec{E}(n) = E(n) \vec{v}_n$

et de plus, $E(n) = E(x, y, n)$ car les charges sont invariantes par translation selon y et z donc $E(n) = E(n)$

Finallement, $\vec{E}(n) = E(n) \vec{v}_n$

\hookrightarrow modèle d'extension nifdi selon x
 \hookrightarrow négliger les effets de bord dans les directions $+Oz$.

- 3) Relation de Maxwell-Gauss à expliciter

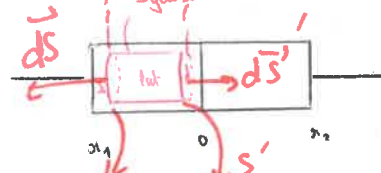
$$\text{Ici } \text{div}(\vec{E}) = \frac{\rho_i}{\epsilon_0 C_R} \quad \text{avec } i \in \{1, 2\}$$

car la permittivité du silicium est différente du vide.

$$\text{div}(\vec{E}) = \frac{\rho_i}{\epsilon_0 C_R}$$

$$\boxed{\frac{dE}{dx} = \frac{\rho_i}{8\epsilon_0}}$$

4. On applique une surface de Gauss: un cylindre entre x_1 et 0



méthode pas intéressante ici

$$\oplus \text{ simple } \frac{dE}{dx} = \frac{\rho_1}{\epsilon_0}$$

D'après le théorème de Gauss

$$\phi(\vec{E}) = \phi_{\text{spur}}(\vec{E}) + \phi_{\text{spécif.}}(\vec{E}) + \phi_{\text{ext.}}(\vec{E})$$

pour $x \in [x_1, 0]$
intiquer

$$= \iint_{\text{space}} \vec{E} \cdot d\vec{S} + \iint_{\text{spur}} \vec{E} \cdot d\vec{S} + 0 = -E(x) S + E(x') S \\ = (E(x') - E(x)) S$$

$$= 2E(x) S$$

$$= \frac{Q_{\text{int}, 1}}{\epsilon_0}$$

$$\text{Ainsi } E(x) = \frac{\rho_1 V \epsilon_0}{2S}$$

$$= \frac{\rho_1 V}{\epsilon_0} \leftarrow \text{volume}$$

$$= \frac{\rho_1 \pi x S \epsilon_0}{2S}$$

densité volumique de charge

$$= \frac{\rho_1 S (x' - x)}{\epsilon_0}$$

hypothèse échancé

$$= \frac{\rho_1 \pi x^2 \epsilon_0}{2S}$$

$$\text{et } E(x \neq 0) = 0$$

en posant $x = x_1$
méthode

$$(E(x') - E(x))^2 = \frac{\rho_1 (x' - x)^2}{\epsilon_0}$$

$$E(x') = -\frac{\rho_1 (x_1 - x)}{\epsilon_0 \epsilon_0}$$

5) On effectue la même

$$E(x) = \frac{\rho_2 x}{\epsilon_0 \epsilon_0} (x' - x)$$

ainsi

$$E(x_2) = \frac{\rho_2 x_2}{\epsilon_0}$$

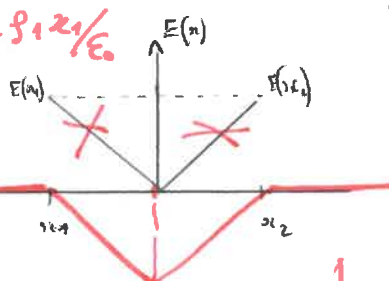
d'après question 1

$$= \frac{\rho_2 x_1}{\epsilon_0}$$

$$E(x_2) = 4,78 \times 10^{-12}$$

$$\text{avec } x=0 \quad E(x=0) = -\frac{\rho_1 x_1}{\epsilon_0}$$

$$E(x') = -\frac{\rho_1 x_1}{\epsilon_0 \epsilon_0} + \frac{\rho_2 x'}{\epsilon_0 \epsilon_0}$$



$$E(x_2) = \frac{1}{\epsilon_0 \epsilon_0} (-\rho_1 x_1 + \rho_2 x_2)$$

à respecter les échelles $x_2 \ll |x_1|$

7) On rappelle que $\vec{E} = -\nabla V$

$$\vec{E} = E(x) \hat{x} = -\frac{\partial V}{\partial x} \hat{U}_x$$

8) On a aussi $E = V(A_1) - V(A_2)$

$$\text{et } V_S = V(A_1) - V(A_2) \Rightarrow \int_{x_1}^{x_2} E(x) dx$$

on intègre $V = -E(x) dx$

NON! $E(x) \neq -V$

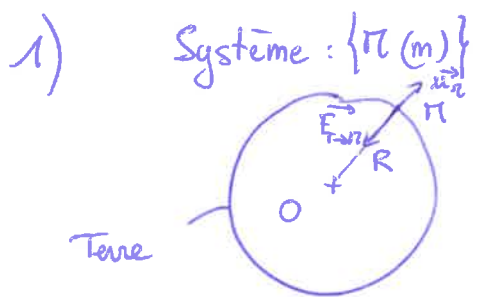
$$= -E(x_1) + E(x_2) \Rightarrow \int_{x_1}^{x_2} E(x) dx = \int_{x_1}^0 E_1(x) dx + \int_0^{x_2} E_2(x) dx$$

9) Les particules sont des électrons donc comme elles vont du

à vous le \oplus . Elles vont de A_2 vers A_1 , d'où le sens bloquant de la diode $i=0$ \rightarrow $U < U_S$ diode bloquée faire le calcul: on trouve $U_S = 0,68V$

$\rightarrow U = U_S$ diode passante

TD 7 ex V



* Force d'interaction gravitationnelle subie par m :

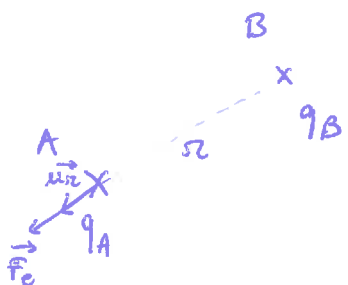
$$\vec{F}_{T \rightarrow m} = -G \frac{m M_T}{R^2} \vec{u}_r \quad \text{où } M_T = \text{masse Terre}$$

$R = \text{rayon Terre}$

Or à la surface de la Terre cette force est assimilable au poids : $\vec{P} = -mg\vec{u}_n$

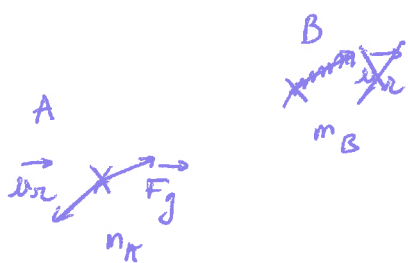
Ainsi par identification : $g = \frac{GM_T}{R^2}$

2)



* La force d'interaction électrostatische \vec{F}_e subie par q_A de la part de q_B est :

$$\vec{F}_e = \frac{1}{4\pi\epsilon_0} \frac{q_A q_B}{r^2} \vec{u}_r \quad \text{où } r = AB$$



* La force d'attraction gravitationnelle \vec{F}_g subie par m_A de la part de m_B

$$\vec{F}_g = -G \frac{m_A m_B}{r^2} \vec{u}_r \quad \text{où } r = AB$$

3) On remarque $\vec{F}_g = m_A \vec{g}_0$ et $\vec{F}_e = q_A \vec{E}$
où \vec{g}_0 est le champ gravitationnel \vec{E} , le champ électrique

Deux plus ces deux grandeurs sont analogues.

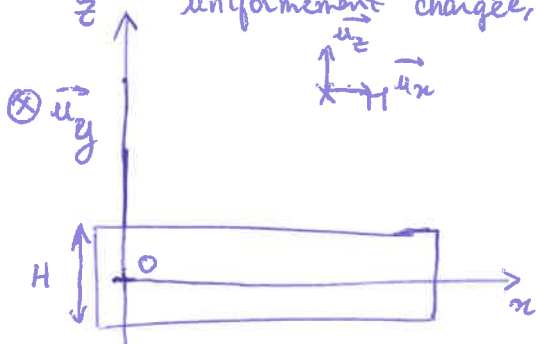
Ainsi La la masse m l'est avec la charge q et $-G$ avec $\frac{1}{4\pi\epsilon_0}$

De ce fait, le Théorème de Gauss pour le champ gravitationnel devient :

$$\phi_{\text{Sphérique}}(\vec{g}_0) = -4\pi G \Pi_{\text{int}} \quad \text{où } \Pi_{\text{int}} \text{ est la masse à l'intérieur de la surface sphérique } S.$$

4)

En considérant le parallélépipède infini sur x et y d'épaisseur H :



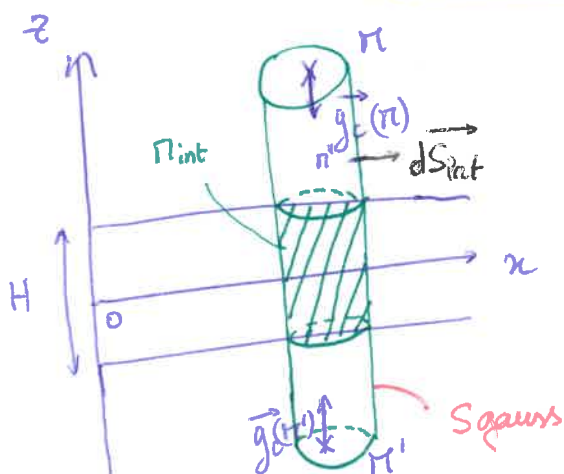
- Les plans $\Pi_1(\Pi, \vec{u}_x, \vec{u}_z)$ et $\Pi_2(\Pi, \vec{u}_y, \vec{u}_z)$ sont les seules plans de symétrie des charges passant par Π donc $\vec{E}(\Pi) = E(\Pi) \vec{u}_z$
- Les translations selon x et y laissent invariantes les charges donc $E(\Pi) = E(x, y, z)$ est indépendant de x et y .

Ainsi $\vec{E}(\Pi) = E(z) \vec{u}_z$. De plus, comme dit précédemment le champ gravitationnel \vec{g}_c est analogue à \vec{E} .

on pouvait faire le raisonnement directement avec 1 mur.

Donc par analogie, $\vec{g}_c(\Pi) = g_c(z) \vec{u}_z$

5)



→ Pour appliquer le Théorème de Gauss, on choisit comme surface un cylindre où $\Pi \in$ base supérieure et $\Pi' = \text{sym } \Pi / \text{murs}$

→ Théorème de Gauss :

$$\phi_{\text{Gauss}}(\vec{g}_c) = \iint_{S_{\text{sup}}} \vec{g}_c(\Pi) d\vec{s}_{\text{sup}} + \iint_{S_{\text{inf}}} \vec{g}_c(\Pi') d\vec{s}_{\text{inf}} + \iint_{S_{\text{flat}}} \vec{g}_c(\Pi'') d\vec{s}_{\text{flat}}$$

$= 0$ car $d\vec{s}_{\text{flat}} \perp \vec{g}_c(\Pi'')$

On note $S = S_{\text{inf}} = S_{\text{sup}}$

$$\begin{aligned} \text{Donc } \phi_{\text{Gauss}}(\vec{g}_c) &= \iint_{S_{\text{sup}}} g_c(z) \vec{u}_z \cdot d\vec{s}_{\text{sup}} \vec{u}_z + \iint_{S_{\text{inf}}} -g_c(z) \vec{u}_z \cdot d\vec{s}_{\text{inf}} \vec{u}_z \\ &= 2g_c(z) S \\ &= -4\pi G \Pi_{\text{int}}, \end{aligned}$$

TD 7 ex V

Or on dispose d'une ~~cette~~ couche d'épaisseur H de masse volumique ρ_c

$$\text{donc } \mathbf{r}_{\text{int}} = \rho_c g \mathbf{e}_z$$

$$\text{Ainsi } g_c(z) = -2\pi G \rho_c H - \text{gfd.}$$

6) Comme la présence de la nappe de pétrole ^{modifie} change le champ gravitationnel de $-\Delta g$, d'après la question précédente :

$$g_c = -\Delta g \quad \text{Hence } \Delta g = 2\pi (f_s + f_p) H$$

~~A.N: $\Delta g =$~~

~~mais ici $\mathbf{r}_{\text{int}} = (R-H)f_s \mathbf{e}_z + Hf_p \mathbf{e}_z$~~

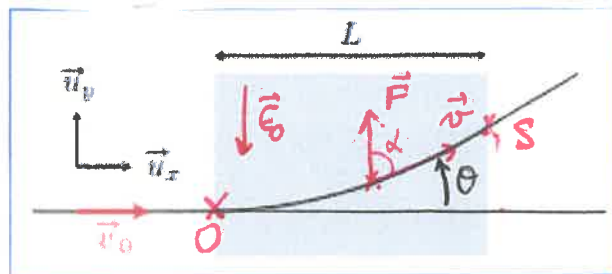
~~et $g = 2\pi G f_s R$ donc $\mathbf{r}_{\text{int}} = \frac{g}{2\pi G f_s} \mathbf{e}_z + HS (f_p - f_s)$ (d'après 5)~~

~~Ainsi $\Delta g = 2\pi G H (f_p - f_s) + g$~~

~~$\Delta g = 2\pi G (f_s + f_p) H$~~

~~A.N: $\Delta g = \frac{1168}{3702} \times 10^{-4} \text{ m.s}^{-2}$~~

Donc au passage de l'avion au-dessus d'une nappe de pétrole l'avion sera légèrement moins attiré par la Terre car le champ gravitationnel sera moins important.



1. L'électron rentre dans une zone où le champ électrique est uniforme \vec{E}_0

$$\text{Force de Lorentz: } \vec{F} = -e \vec{E}_0$$

La force subie par l'électron est donc dirigée dans la direction opposée au champ électrique \vec{E}_0 .

Sur le schéma on voit que, l'électron est dévié vers le haut ce qui signifie que la force est dirigée vers le haut. Ainsi \vec{E}_0 est orienté vers le bas. Donc la direction de \vec{E}_0 est verticale et son sens est vers le bas.

- 2- L'énergie cinétique ne diminue pas car la vitesse est continue sur tout le mouvement et on ne voit pas de ralentissement lorsque il pénètre dans la cavité.
Ainsi, l'électron va gagner de l'énergie cinétique

$$\text{donc } \Delta E_C = +10 \text{ keV} \quad \text{or} \quad \frac{dE_C}{dt} = \vec{S}(\vec{F}) = \vec{F} \cdot \vec{v} > 0$$

et \vec{v} tangente à la trajectoire
 $= ||\vec{F}|| ||\vec{v}|| \cos \alpha$

$$3- \Delta E_C = W \quad \text{or} \quad W = ||\vec{F}|| \times L = e \vec{E}_0 \times L$$

non! \vec{F} et \vec{L} ne sont pas colinéaires. $\Rightarrow \Delta E_C > 0$.

avec $0 < \alpha < \frac{\pi}{2}$

variation \uparrow t le travail non! \vec{F} et \vec{L} ne sont pas colinéaires. $\Rightarrow \Delta E_C > 0$.
énergie cinétique

$$\text{Donc } \Delta E_C = e E_0 L \quad \Leftrightarrow \quad E_0 = \frac{\Delta E_C}{e \times L}$$

$$\text{A.N.: } E_0 = \frac{10 \times 10^3 \times 1,6 \times 10^{-19}}{1,6 \times 10^{-19} \times 1} = 10^4 \text{ V.m}^{-1}$$

raisonnement à revoir

- 4- Grâce à la 2^{ème} loi de Newton: $m \ddot{a} = \vec{F}$

$$\text{Ainsi } a_y = \frac{F}{m} = \frac{e E_0}{m} \quad (\text{en projection sur } \vec{u}_y) \quad \text{or.}$$

$$\text{OR } N_y = a_y \times t = \frac{e E_0}{m} \times t \quad \text{et } N_x = N_0 \quad \text{car } a_x = 0.$$

Or on sait que $N_0 = \frac{L}{t}$ où t est le temps passé dans la région de champ.

$$\text{Donc } N_y = \frac{e E_0}{m} \times \frac{L}{N_0} \text{ en sortie.}$$

$$\text{De plus, on sait que } \tan(\theta) = \frac{N_y}{N_0} \Rightarrow \tan(\theta) = \frac{e E_0 L}{m \times N_0^2} \approx.$$

Pour trouver θ , on va déterminer la valeur de N_0 .

$$\text{Par définition: } E_{co} = \frac{1}{2} m N_0^2 \Rightarrow N_0 = \sqrt{\frac{2 E_{co}}{m}}$$

$$\text{A.N: } N_0 = \sqrt{\frac{2 \times 80 \times 10^3 \times 1,6 \times 10^{-19}}{9,11 \times 10^{-31}}} = 1,7 \times 10^8 \text{ m.s}^{-1}$$

$$\text{Ainsi } \theta = \arctan\left(\frac{e E_0 L}{m N_0^2}\right) \quad (\text{calcul intermédiaire puis nécessaire})$$

$$\text{A.N: } \theta = \arctan\left(\frac{1,6 \times 10^{-19} \times 10^4 \times 1}{9,11 \times 10^{-31} \times (1,7 \times 10^8)^2}\right) = 3,5^\circ$$

$$\boxed{\tan \theta = \frac{e L E_0}{2 E_{co}} = 0,35 \rightarrow \theta = 19,3^\circ}$$

$$3. W(\vec{F}) = -e \vec{E}_0 \cdot \vec{OS} = -e (-E_0 \vec{i}_y) \cdot (x \vec{i}_x + y \vec{i}_y) \\ \underset{0 \rightarrow S}{=} e E_0 y_s = \Delta E_c$$

$$\text{d'où } E_0 = \frac{\Delta E_c}{e y_s}$$

$$\text{comme } N_y = \frac{e E_0}{m} t \quad y_s = \frac{e E_0}{m} \frac{t^2}{2} \quad (\text{à } t=0 \text{ } y=0)$$

$$\text{en S } x_S = L = N_0 t_s \quad y_s = \frac{e E_0}{2m} \frac{L^2}{N_0^2}$$

$$\text{et } E_{co} = \frac{1}{2} m N_0^2 \quad y_s = \frac{e E_0}{4 E_{co}} L^2$$

$$\text{d'où } E_0 = \frac{\Delta E_c \times 4 E_{co}}{e^2 E_0 L^2}$$

$$\boxed{E_0 = \frac{2}{e L} \sqrt{\Delta E_c \cdot E_{co}}}$$

$$= \frac{2}{1,6 \times 10^{-19} \times 1} \sqrt{\frac{10 \times 80 \times 1,6 \times 10^{-19} \times 10^3}{5,6 \times 10^4 \text{ V.m}^{-1}}}$$